

Wojciech Wiślicki, 20/1/2006

## **SYMETRIA $CP$ W UKŁADZIE NEUTRALNYCH MEZONÓW $K$**

$K^0\bar{K}^0$  jest dwustanowym układem kwantowym, rozpadającym się w oddziaływaniach słabych.

Uznanie dla badaczy fizyki  $K^0$ :

- 1980, Nagroda Nobla dla J.W. Cronina i V.L. Fitcha za odkrycie naruszenia  $CP$  przez mieszanie stanów,
- 2005, Nagroda EPS dla H. Wahla i NA31 za wkład w odkrycie bezpośredniego naruszenia  $CP$ .

**Komitet Noblowski z 12/10/1980:**

**The Royal Swedish Academy of Sciences has decided to award the 1980 Nobel Prize in Physics to Professor James W. Cronin, University of Chicago, USA and Professor Val L. Fitch, Princeton University, USA, for the discovery of violations of fundamental symmetry principles in the decay of neutral K-mesons.**

**Symmetries play a great role in many sciences and also in many other areas. This year's Nobel Prize in Physics is awarded for an unexpected discovery in an experiment devoted to a critical scrutiny of the validity of three related symmetry principles. These are of real importance to the formulation of fundamental laws of Nature.**

**EPS (za CERN Courier, nr 7, 2005):**

**The 2005 prizes of the High Energy and Particle Physics (HEPP) Division of the European Physical Society (EPS) were awarded on 25 July at the start of the plenary sessions for the International Europhysics Conference on High Energy Physics, HEP2005, in Lisbon.**

**The 2005 EPS-HEPP Prize was awarded jointly to Heinrich Wahl of CERN, for his *outstanding leadership of challenging experiments on CP Violation*, and to CERN's NA31 Collaboration, which showed for the first time direct CP Violation in the decays of neutral K mesons. Wahl, who retired in 2003, had a long association with CP-violation experiments from his arrival at CERN in 1969. He was spokesman of NA31 and a major proponent of its successor, NA48.**

## Uwagi wstępne

$$\mathcal{C} : Q \rightarrow -Q$$

$$\mathcal{P} : \vec{r} \rightarrow -\vec{r}$$

**Kombinacja  $\mathcal{CP}$  zamienia materię z antymaterią, np.**

$$\mathcal{CP} : e_L^- \rightarrow e_R^+$$

$$\mathcal{CP} : e_R^+ \rightarrow e_L^-$$

**O ile wiemy, tylko oddziaływania słabe naruszają  $\mathcal{C}$  i  $\mathcal{P}$ , ale za to maksymalnie:**

**W sprzęga się do  $e_L^-$ , ale nie do  $\mathcal{C}(e_L^-) = e_L^+$ , ani  $\mathcal{P}(e_L^-) = e_R^-$**

**Natomiast  $\mathcal{CP}$  zachowane jest dość dobrze:**

**W sprzęga się zarówno do  $e_L^-$ , jak do  $\mathcal{CP}(e_L^-) = e_R^+$**

## Uwagi historyczne

**M. Gell-Mann i A. Pais, 1955:**

**Pierwsze badanie (teoretyczne) kombinacji  $K^0$  i  $\bar{K}^0$  i jego własności transformacyjnych względem  $\mathcal{C}$ .**

**Propozycja, aby ze stanów opisujących pary fizyczne  $M\bar{M}$ , ale  $M \neq \bar{M}$  (a więc nie  $\pi^0$ , a np.  $K^0$ )**

$$\begin{aligned} \mathcal{C}\psi\mathcal{C}^{-1} &= \psi^\dagger \\ \mathcal{C}\psi^\dagger\mathcal{C}^{-1} &= \psi \end{aligned}$$

**zbudować stany własne  $\mathcal{C}$**

$$\psi_1 = \frac{1}{\sqrt{2}}(\psi + \psi^\dagger)$$

$$\psi_2 = \frac{1}{i\sqrt{2}}(\psi - \psi^\dagger)$$

**takie że**

$$\mathcal{C}\psi_1\mathcal{C}^{-1} = \psi_1$$

$$\mathcal{C}\psi_2\mathcal{C}^{-1} = -\psi_2$$

**Cząstka  $\psi_1$  zachowuje się jak  $\pi^0$ , zaś  $\psi_2$  - jak foton.**

Propozycja dekompozycji stanu na sumę stanów o dobrze określonych własnościach symetrii ma ciekawe konsekwencje fenomenologiczne.

Po odkryciu, że oddziaływania słabe nie są ani  $\mathcal{P}$ - ani  $\mathcal{C}$ -niezmiennicze, dla układu  $K^0 - \bar{K}^0$  zmieniono opis na bazę stanów własnych  $CP$

$$|K_1\rangle = \frac{1}{\sqrt{2}}(|K^0\rangle + |\bar{K}^0\rangle) \quad CP = +1$$

$$|K_2\rangle = \frac{1}{\sqrt{2}}(|K^0\rangle - |\bar{K}^0\rangle) \quad CP = -1$$



- Dla kaonów zachodzi **koherentna regeneracja** w materii składowej krótkożyciowej ze składowej długożyciowej, jako konsekwencja różnicy amplitud rozpraszania do przodu dla  $K^0$  i  $\bar{K}^0$ :

$$\begin{aligned}K_L &= \frac{1}{\sqrt{2}}(K^0 - \bar{K}^0) \\ &\rightarrow \frac{1}{\sqrt{2}}(fK^0 - \bar{f}\bar{K}^0) \\ &= \frac{f + \bar{f}}{2}K_L + \frac{f - \bar{f}}{2}K_S\end{aligned}$$

- Różne parzystości stanów końcowych w rozpadach prowadzą do różnych objętości przestrzeni fazowych, a więc różnych czasów życia, np.

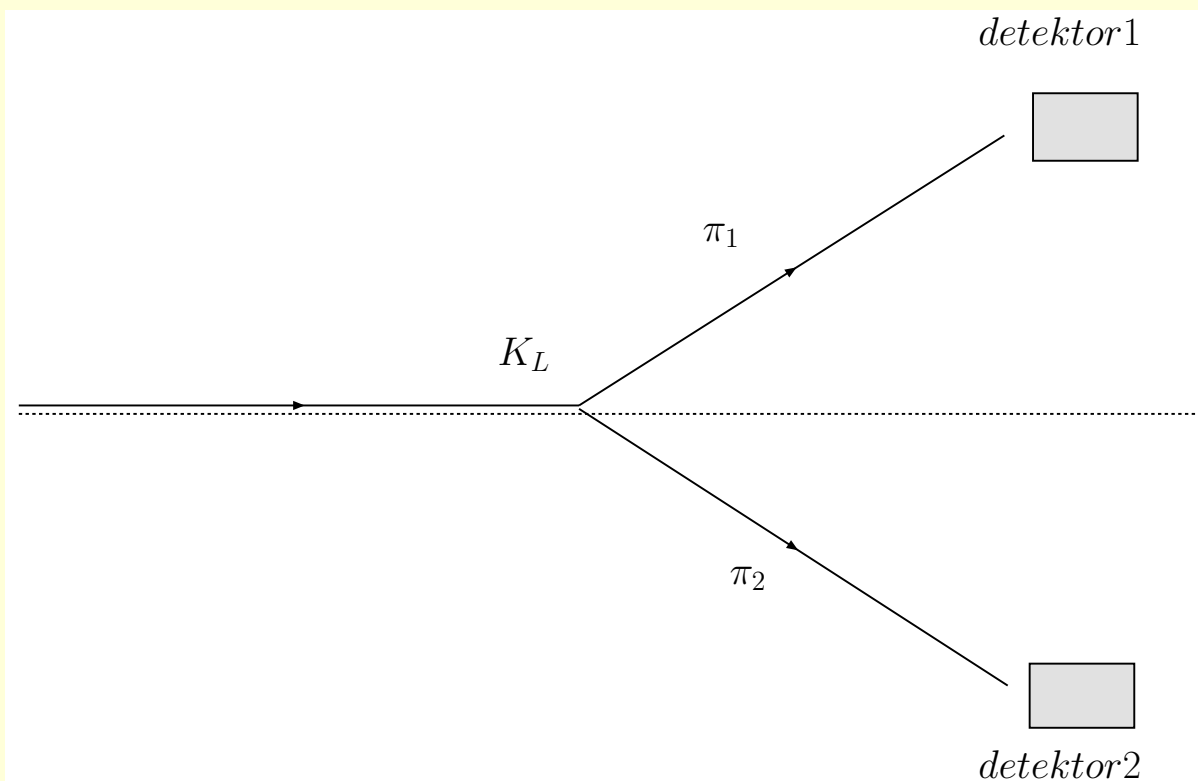
$$V(3\pi, CP = -1) < V(2\pi, CP = +1) \Rightarrow \tau_1 < \tau_2$$

$$c\tau_S = 2.7 \text{ cm}$$

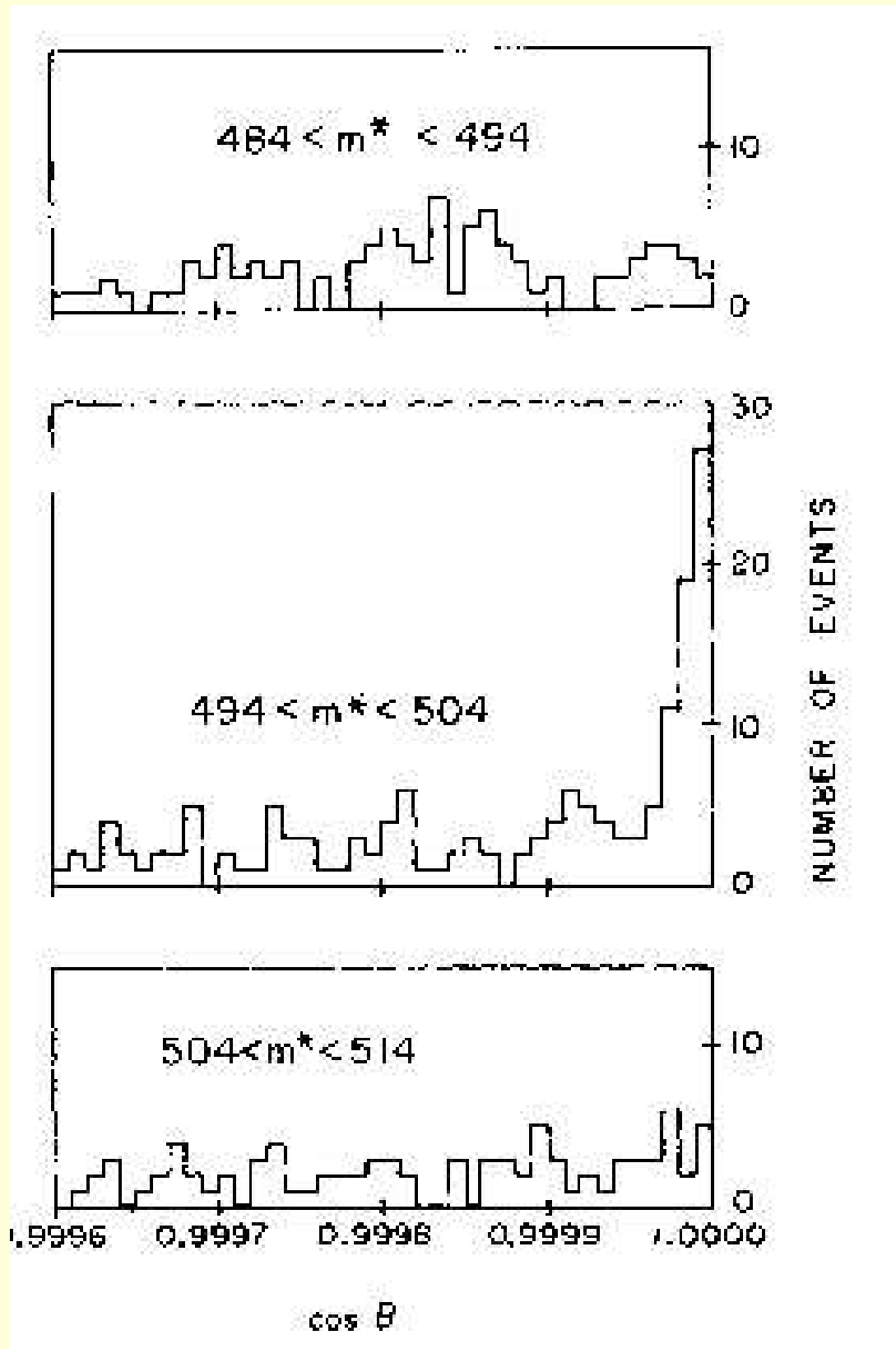
$$c\tau_L = 15.5 \text{ m}$$

1964: Cronin, Christensen, Fitch i Turlay:

Długożyciowe  $K$  rozpadają się na  $\pi^+\pi^-$ , tak samo jak krótkożyciowe, z częstością  $\sim 2 \times 10^{-3}$ .



Niech  $\theta = \angle(\vec{p}_{\pi^+}, \vec{p}_{\pi^-})$



Wynik ten implikował **naruszenie  $\mathcal{CP}$  przez mieszanie** na poziomie  $|\varepsilon| = 2.3 \times 10^{-3}$  i konieczność zmodyfikowania stanów długo- i krótkożyciowych o domieszki z przeciwnymi parzystościami

$$|K_L\rangle = \frac{1}{\sqrt{1 + |\varepsilon|^2}} (\varepsilon|K_1\rangle + |K_2\rangle)$$

$$|K_S\rangle = \frac{1}{\sqrt{1 + |\varepsilon|^2}} (|K_1\rangle + \varepsilon|K_2\rangle)$$

ale **bez konieczności łamania  $\mathcal{CP}$  wprost w rozpadach**.

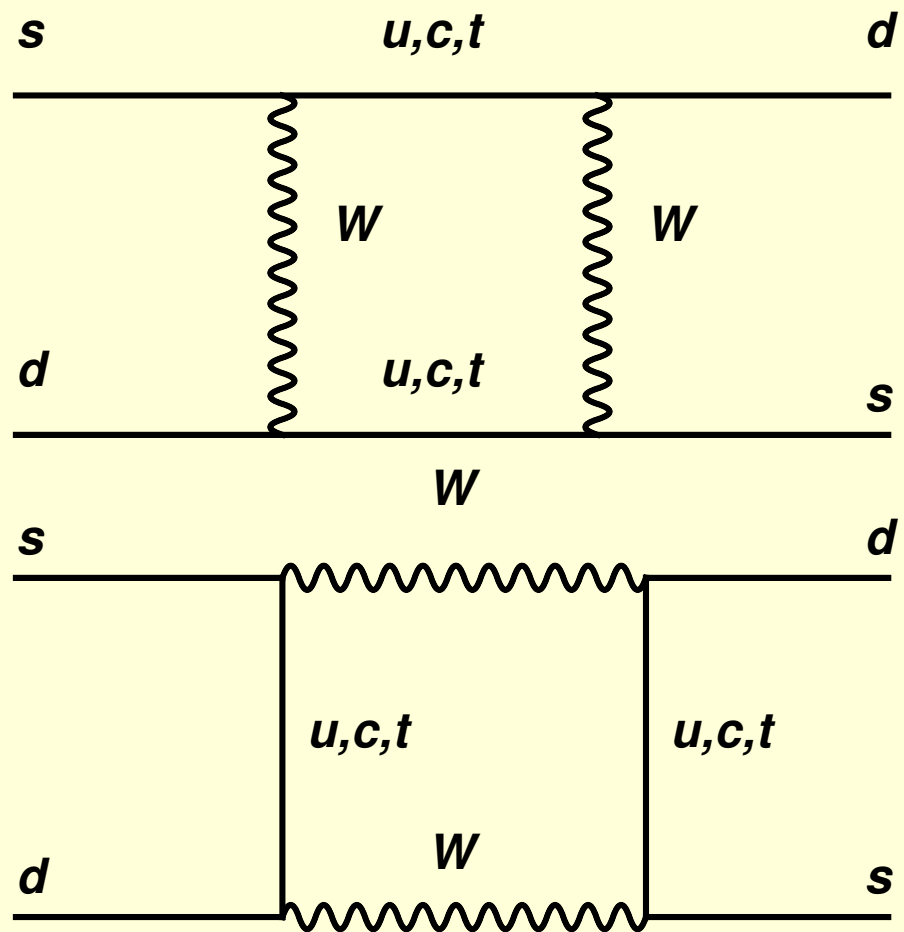
$\varepsilon$  można też dokładnie zmierzyć z rozpadów semileptonowych  $K_L$

$$\begin{aligned}\delta_L &= \frac{\Gamma(K_L \rightarrow l^+ \nu_l \pi^-) - \Gamma(K_L \rightarrow l^- \bar{\nu}_l \pi^+)}{\Gamma(K_L \rightarrow l^+ \nu_l \pi^-) + \Gamma(K_L \rightarrow l^- \bar{\nu}_l \pi^+)} \\ &= \frac{2 \operatorname{Re} \varepsilon}{1 + |\varepsilon|^2}\end{aligned}$$

**Najlepszy obecny pomiar:**

$$\delta_L = (3.27 \pm 0.12) \times 10^{-3}$$

Mechanizm mieszania: przejścia z  $|\Delta S| = 2$



**O ile naruszenie  $\mathcal{CP}$  nie-wprost ( $\varepsilon \neq 0$ ) oznacza dopuszczenie rozpadu**

$$K_L(\mathcal{CP} = ?) \rightarrow 2\pi(\mathcal{CP} = +1)$$

**to naruszenie wprost oznacza istnienie przejścia (rozpadu) między stanami o określonych, różnych  $\mathcal{CP}$**

$$K_2(\mathcal{CP} = -1) \rightarrow 2\pi(\mathcal{CP} = +1)$$



Jeśli naruszenie  $CP$  zachodziłoby tylko poprzez mieszanie stanów, wówczas tylko składowa o określonej wartości własnej  $CP$ , zarówno w  $K_L$  jak w  $K_S$ , rozpadała by się do stanu końcowego o tym samym  $CP$ .

Oznaczałoby to, że ten stan końcowy jest taki sam z rozpadu  $K_L$ , jak  $K_S$ .

Jeśli ma miejsce naruszenie  $CP$  wprost, wówczas **tak nie jest** – na ogół są rozróżnialne.

## Obserwacja

$$K_L \rightarrow \pi^+ \pi^-$$

z  $\varepsilon \sim 10^{-3}$  mogłaby być objaśniona w ramach modelu superślabej (Wolfenstein, 1964), w którym cały efekt pochodzi z oddziaływań łamiących  $CP$ .

Oddziaływania superślabe dają:

- przejścia  $K^0 \leftrightarrow \bar{K}^0$  ( $|\Delta S| = 2$ ) w I-szym rzędzie,
- nieleptonowe rozpady  $K^0$  tłumione; wkład do macierzy energii tylko poprzez interferencję amplitud z  $|\Delta S| = 1$  i  $|\Delta S| = 0$  (II rząd).

W modelu superślaby **nie ma miejsca na bezpośrednie  $CP$** .

### **M. Kobayashi, T. Maskawa, 1973**

W SM oddziaływania słabe są  $CP$ -niezmiennicze tylko wtedy, gdy w sprzężeniach fazy są zero.

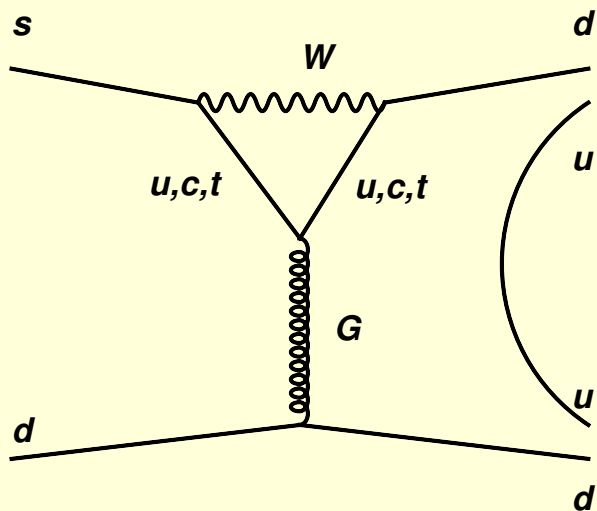
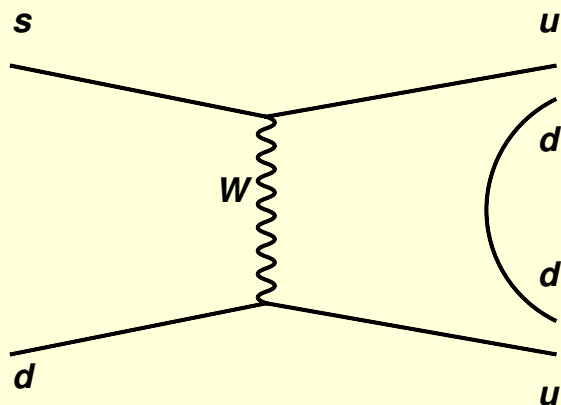
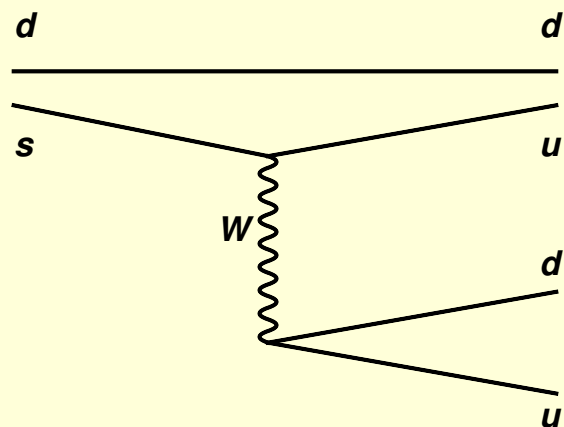
Rozszerzenie mechanizmu mieszania do 3 rodzin kwarków daje możliwość wprowadzenia do macierzy mieszania (CKM) fazy, która daje  $CP$ .

Oba typy procesów  $CP$ ,  $|\Delta S| = 1$  i  $|\Delta S| = 2$ , zależą od wyrazów typu  $V_{fd}V_{fs}^*$  ( $f = u, c, t$ ).

$$\hat{V} = \begin{pmatrix} V_{ud} & V_{us} & V_{ub} \\ V_{cd} & V_{cs} & V_{cb} \\ V_{td} & V_{ts} & V_{tb} \end{pmatrix}$$

$$= \begin{pmatrix} 1 - \lambda^2/2 & \lambda & A\lambda^3(\rho - i\eta) \\ -\lambda & 1 - \lambda^2/2 & A\lambda^2 \\ A\lambda^3(1 - \rho - i\eta) & -A\lambda^2 & 1 \end{pmatrix}$$

Rozpady  $K^0 \rightarrow 2\pi$  z  $|\Delta S| = 1$ :



## Deficyt antymaterii

Dodatkowo, zainteresowanie  $CP$  pochodzi z kosmologii:

- W promieniowaniu kosmicznym docierającym do Ziemi  
 $N(p)/N(\bar{p}) \sim 10^4$ ,
- Brak danych astrofizycznych na temat anty-gwiazd i anty-galaktyk.  
Duże skupiska antymaterii powinny anihilować z materią, dając obserwowalne zaburzenia widma  $\gamma$  tła.  
Chyba, że antymateria jest bardzo daleko, lecz wtedy Wszechświat musiałby być bardzo niejednorodny.

## Najprostszy scenariusz

- **Dynamiczna równowaga promieniowanie-materia:**  $N = \bar{N} \simeq \gamma$
- **Asymetria materia-antymateria**  $N = (1 + 10^{-9})\bar{N} \simeq \gamma$ , **po schłodzeniu Wszechświata do  $10^{10}$  K (czas  $t = 1$  s po Wielkim Wybuchu) może dać obserwowalny nadmiar materii, bowiem po anihilacji  $E_\gamma \ll m$  antymateria wymiera:**  
 $N = 10^{-9}\gamma, \bar{N} = 0.$
- $t = 1$  s to wystarczająco długo, aby oddziaływania słabe złamały  $\mathcal{CP}$ .
- Potrzebne jest  $\mathcal{CP}$  w rozpadzie; samo mieszanie nie wyjaśnia asymetrii.
- Znalezienie  $\mathcal{CP}$  w rozpadach K jest zaledwie *proof of principle* dla teorii bariogenezy.

## Zasada pomiaru łamania $\mathcal{CP}$ w rozpadach $K^0$

Obecnie przyjęta interpretacja fizyczna:

$\mathcal{CP}$  pochodzi z różnicy faz między amplitudami przejść do stanów  $I = 0$  i  $I = 2$ .

- Definiujemy

$$\begin{aligned}\eta^{00} &= \frac{\langle \pi^0 \pi^0 | K_L \rangle}{\langle \pi^0 \pi^0 | K_S \rangle} \\ \eta^{+-} &= \frac{\langle \pi^+ \pi^- | K_L \rangle}{\langle \pi^+ \pi^- | K_S \rangle} \\ R &= \frac{|\eta^{00}|^2}{|\eta^{+-}|^2}\end{aligned}$$



- Z symetrii stanów końcowych  $2\pi$

$$\langle \pi^0 \pi^0 | K^0 \rangle = \sqrt{\frac{2}{3}} A_0 e^{i\delta_0} - \sqrt{\frac{4}{3}} A_2 e^{i\delta_2}$$

$$\langle \pi^+ \pi^- | K^0 \rangle = \sqrt{\frac{2}{3}} A_0 e^{i\delta_0} + \sqrt{\frac{1}{3}} A_2 e^{i\delta_2}.$$

- $\mathcal{CP}$  wprost wymaga interferencji amplitud o różnych fazach.

Dlatego

$$\varepsilon = \frac{\langle 2\pi(I=0) | K_L \rangle}{\langle 2\pi(I=0) | K_S \rangle}$$

mierzy tylko  $\mathcal{CP}$  nie-wprost, a

$$\frac{\varepsilon'}{\varepsilon} = \frac{1}{\sqrt{2}} \left[ \frac{\langle 2\pi(I=2) | K_L \rangle}{\langle 2\pi(I=0) | K_L \rangle} - \frac{\langle 2\pi(I=2) | K_S \rangle}{\langle 2\pi(I=0) | K_S \rangle} \right]$$

mierzy  $\mathcal{CP}$  wprost.

Wyrażając amplitudy przez  $\varepsilon, \varepsilon'$

$$\begin{aligned}\eta^{00} &\simeq \varepsilon - 2\varepsilon' \\ \eta^{+-} &\simeq \varepsilon + \varepsilon'\end{aligned}$$

$\varepsilon'/\varepsilon$  poprzez wielkość mierzalną

$$\begin{aligned}R &= \frac{N(K_L \rightarrow \pi^0\pi^0)}{N(K_S \rightarrow \pi^0\pi^0)} / \frac{N(K_L \rightarrow \pi^+\pi^-)}{N(K_S \rightarrow \pi^+\pi^-)} \\ &= 1 - 6 \operatorname{Re} \frac{\varepsilon'}{\varepsilon}\end{aligned}$$

**Stąd metoda doświadczalna:**

**Jednoczesny pomiar częstości 4 kanałów rozpadów:**

$$K_{L,S} \rightarrow \pi^+\pi^-, \pi^0\pi^0$$

### Ważne założenie:

- Para  $\pi^0\pi^0$  lub  $\pi^+\pi^-$  z rozpadu  $K^0$  jest w stanie S (zachowanie momentu pędu).
- Z symetrii Bosego: dozwolone są stany izospinowe  $I = 0, 2$ .
- Statystyka (uogólniona) Bosego zabrania istnienia stanu z  $I = 1$ .
- O. Greenberg i R. Mohapatra, 1989:  
Jeśli dopuścić niewielkie łamanie symetrii Bosego, to można otrzymać obserwowane wyniki dla  $R \neq 1$  (w momencie wysuwania tej propozycji był to tylko wstępny wynik NA31).  
Nie jest to interpretacja powszechnie przyjęta.

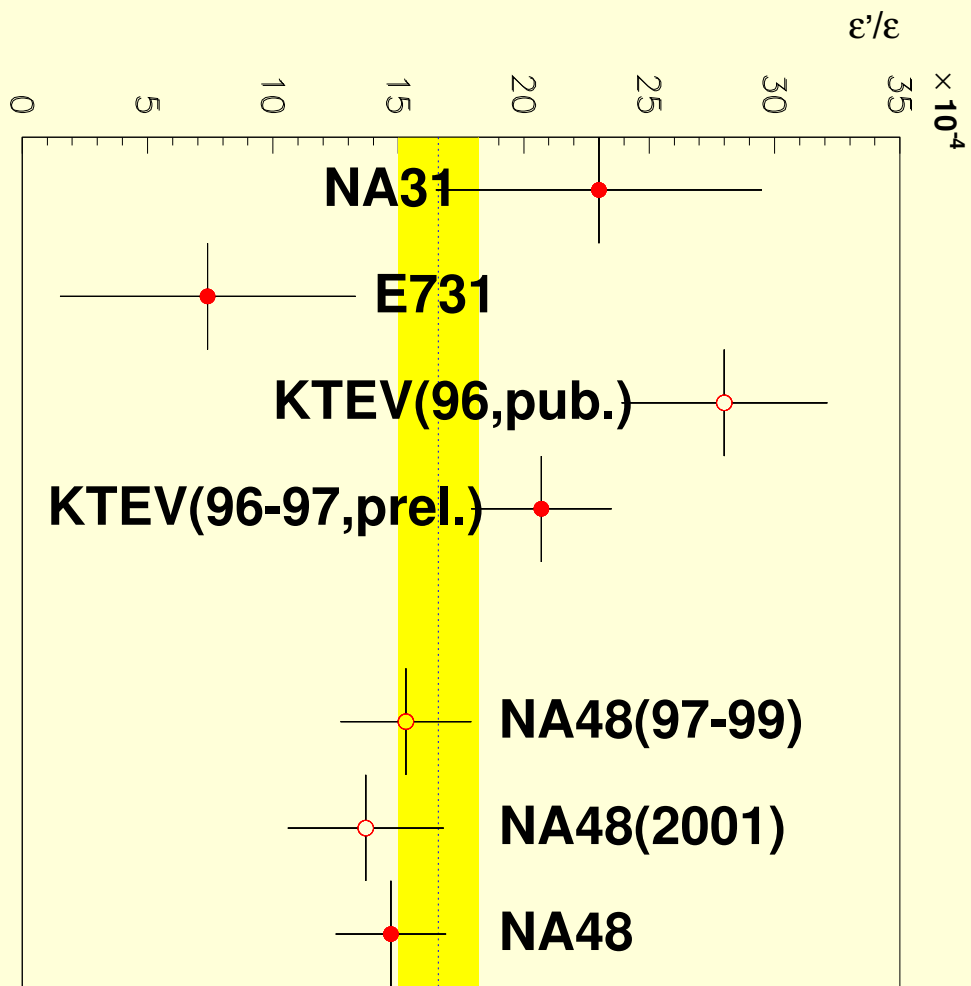
**Pomiary  $CP$  wprost wykonane w ostatnich 2 dekadach:**

<b>CERN</b>	<b>NA31</b>	<b>'80/'90</b>	$(2.30 \pm 0.65) \times 10^{-3}$
<b>FNAL</b>	<b>E731</b>	<b>'80/'90</b>	$(0.75 \pm 0.59) \times 10^{-3}$
<b>CERN</b>	<b>NA48</b>	<b>'90/'00</b>	$(1.47 \pm 0.23) \times 10^{-3}$
<b>FNAL</b>	<b>KTeV</b>	<b>'90/'00</b>	$(2.07 \pm 0.28) \times 10^{-3}$

**Nowe vs. stare:**

- **Redukcja i lepsze zrozumienie systematyki,**
- **Znaczna poprawa statystyki**

$$\begin{aligned} \operatorname{Re} \frac{\varepsilon'}{\varepsilon} &= (1.47 \pm 0.17_{\text{stat}} \pm 0.21_{\text{syst}}) \times 10^{-3} && \mathbf{NA48} \\ & (2.07 \pm 0.15_{\text{stat}} \pm 0.24_{\text{syst}}) \times 10^{-3} && \mathbf{KTeV} \\ & (1.72 \pm 0.18) \times 10^{-3} && \mathbf{\acute{S}rednia \acute{s}wiatowa} \end{aligned}$$



$$\varepsilon = \frac{e^{i\pi/2} \operatorname{Im} \langle K_1 | H | K_2 \rangle}{\sqrt{2} \Delta m}$$

$$\varepsilon' = \frac{i}{\sqrt{2}} \left| \frac{A_2}{A_0} \right| e^{i(\delta_2 - \delta_0)} \sin(\delta_2 - \delta_0)$$

**Znając**  $\Delta m = m_L - m_S = (3.552 \pm 0.016) \times 10^{-12}$  MeV z oscylacji K,  
 $\Delta\Gamma = \Gamma_L - \Gamma_S$  i  $\delta_2 - \delta_0$  (z analizy fazowej  $\pi\pi$  oraz, lepiej, z  $\chi$ PT)

$$\operatorname{Arg}(\varepsilon) = \arctan \frac{-2\Delta m}{\Delta\Gamma} \simeq \frac{\pi}{4}$$

$$\operatorname{Arg}(\varepsilon') = \frac{\pi}{2} + \delta_2 - \delta_0 \simeq \frac{\pi}{4}$$

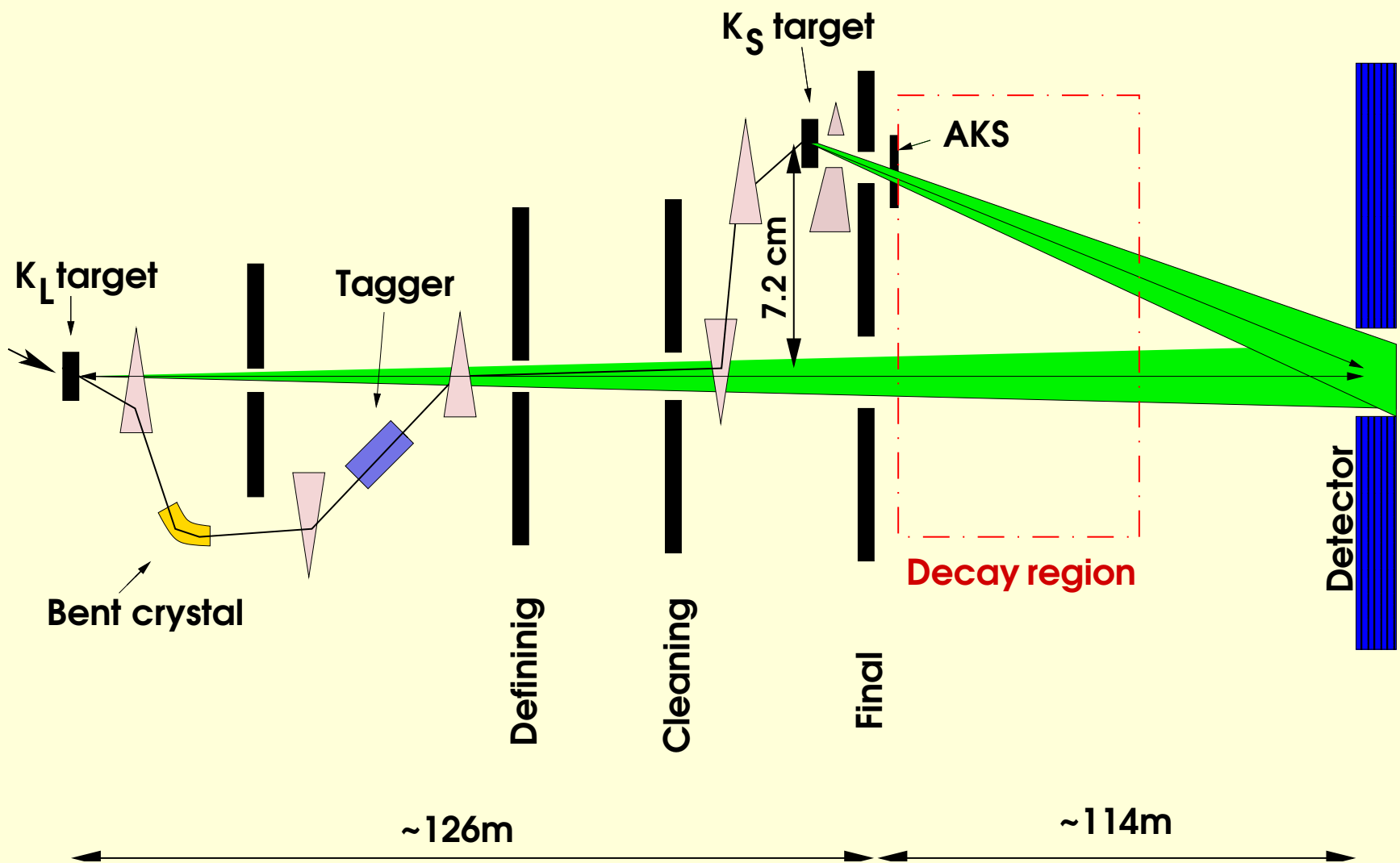
$\frac{\varepsilon'}{\varepsilon}$  jest rzeczywiste (przypadkiem!).

### Wiązki:

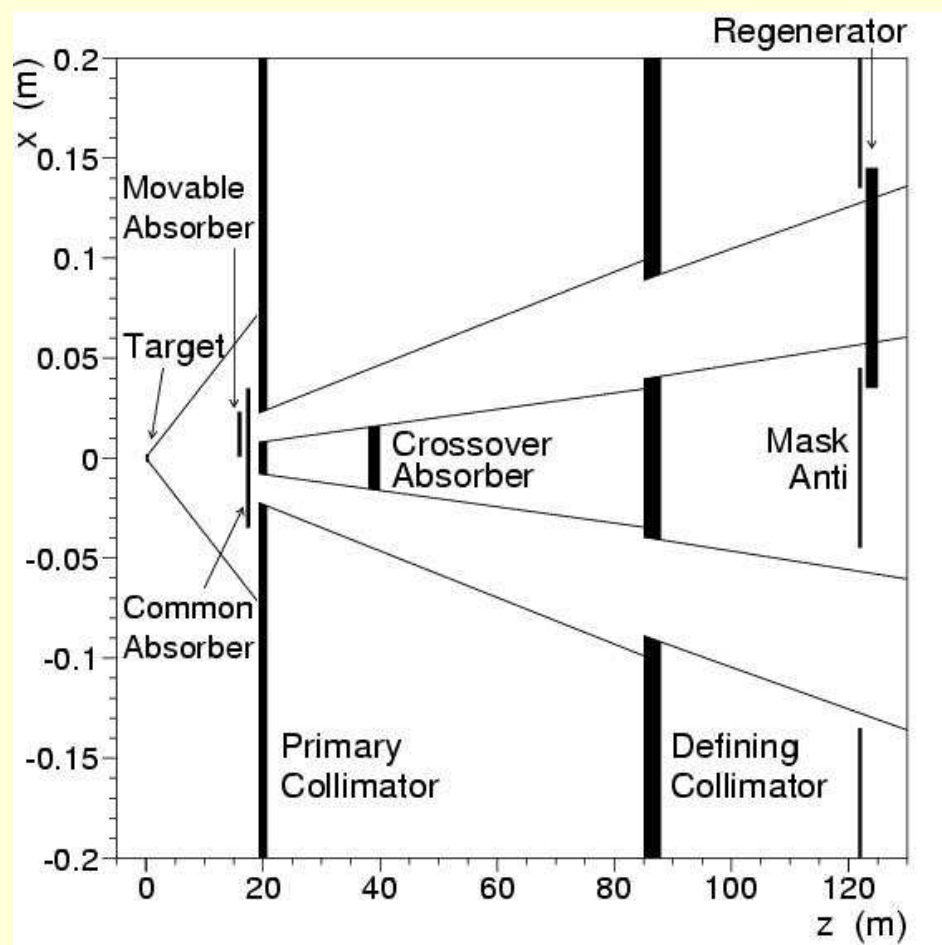
- **NA48:** Dwie tarcze odseparowane o 120 m, wspólny obszar rozpadowy, tagowanie protonów padających na tarczę  $K_S$
- **KTeV:** aktywny regeneratory (85 modułów scyntylacyjnych, izolowanych optycznie), będący jednocześnie źródłem i taggerem  $K_S$ .



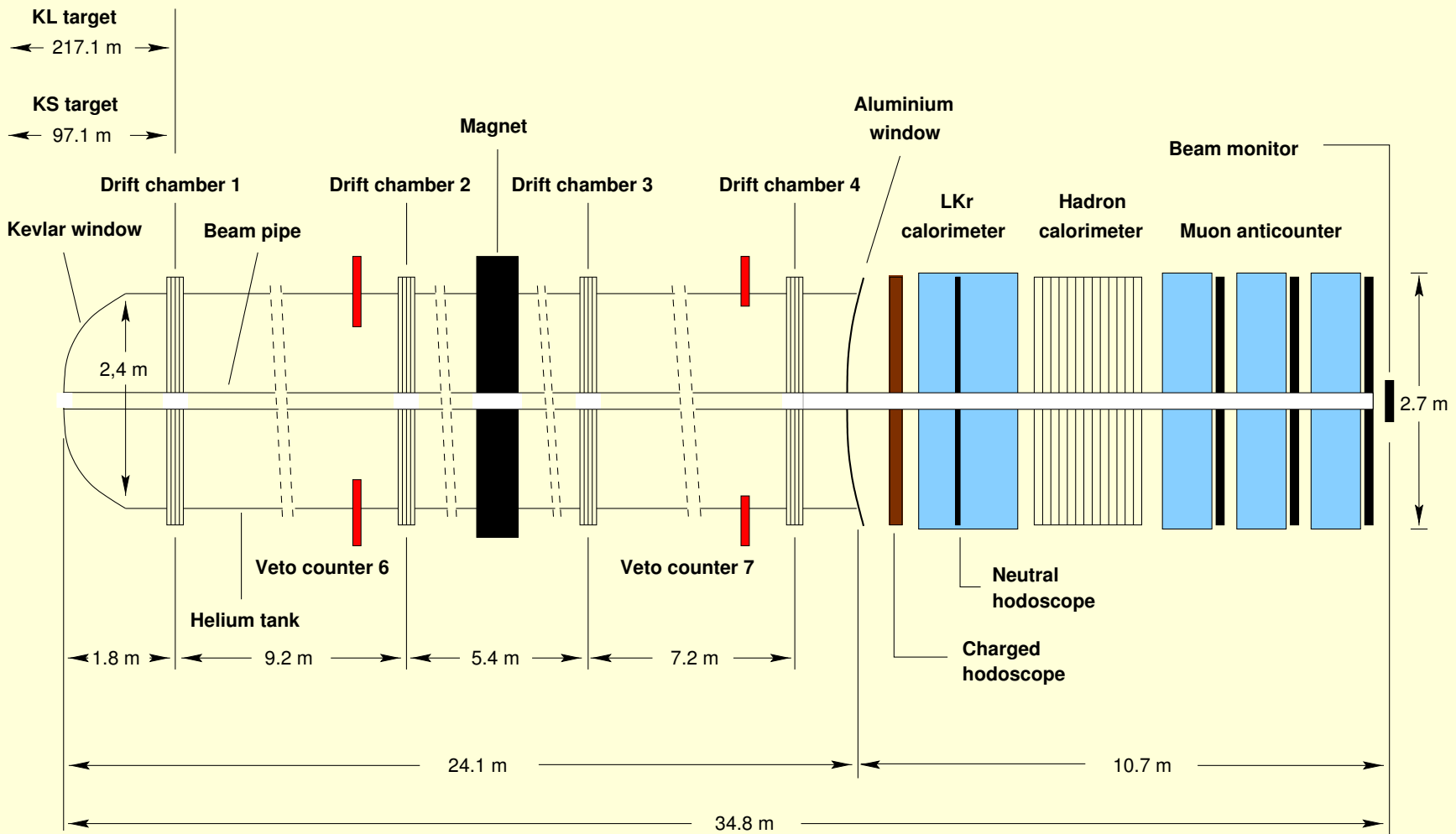
# NA48, wiązka



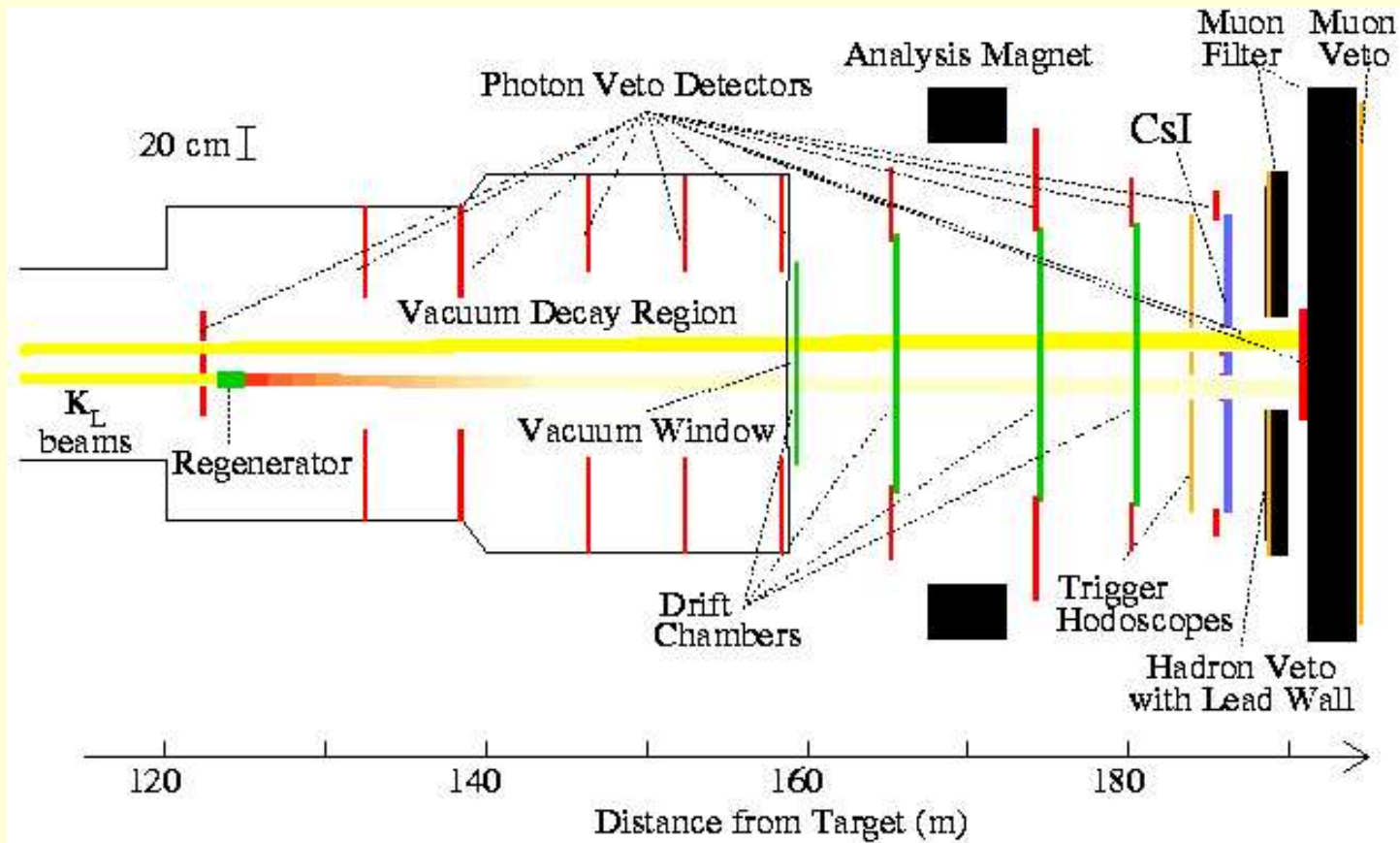
## KTeV, wiązka



# NA48, spektrometr



## KTeV, spektrometr



## Wyrównanie różnic w akceptacjach rozpadów $K_L$ i $K_S$ :

- **NA48:** ważenie  $K_L$  funkcją czasów własnych  $\tau_L, \tau_S$ ,
- **KTeV:** akceptacje obliczane MC i poprawki.

## Trygery:

Oddzielne, wielostopniowe trygery na rozpady naładowane i neutralne

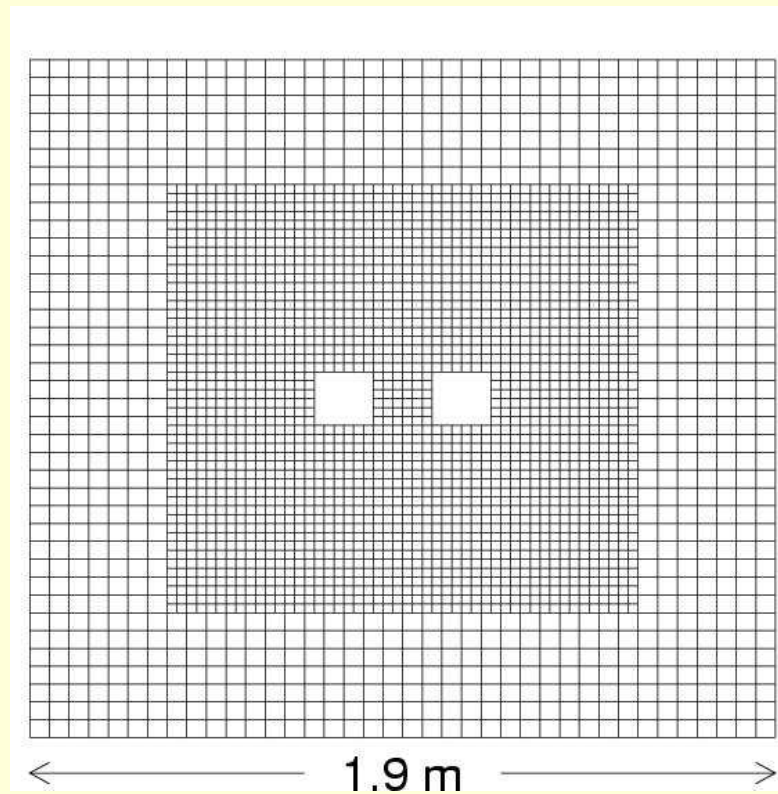
- $\pi^+ \pi^-$ : hity w komorach dryfowych, hity w tryger-hodoskopach, wierzchołek, zgodność hitów z torami zrekonstruowanymi,  $E/p$ ,  $m_{\pi\pi} \simeq m_K$ ,
- $\pi^0 \pi^0$ : kalorymetry  $E_{\text{tot}} > E_0$ , 4 klastry,  $m_{\pi\pi} \simeq m_K$ .

## Kalorymetry

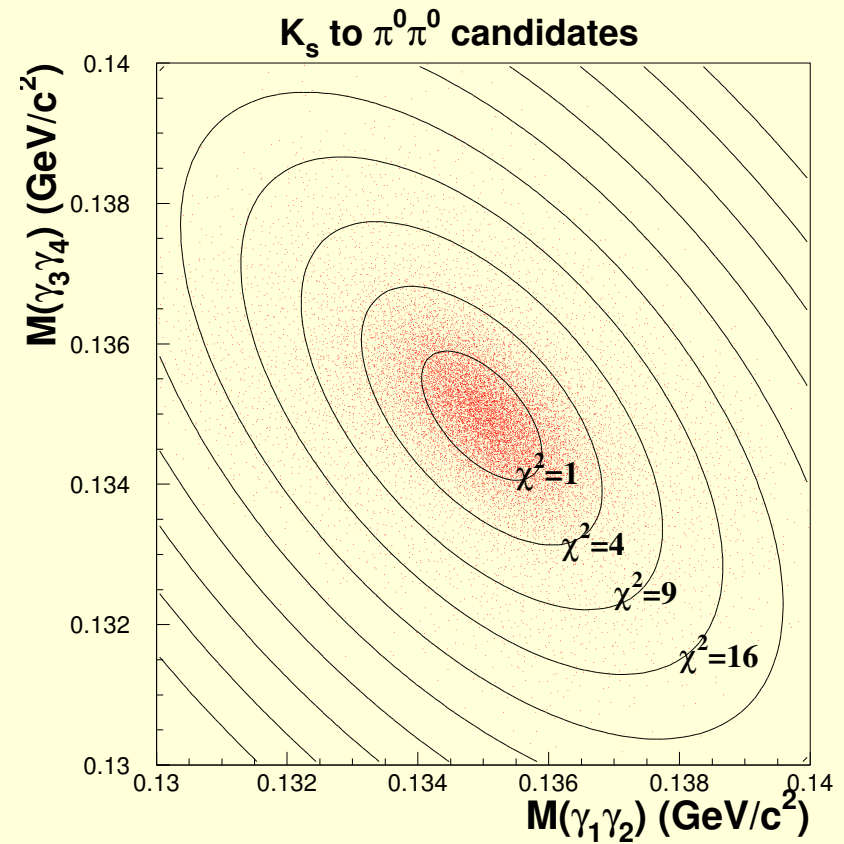
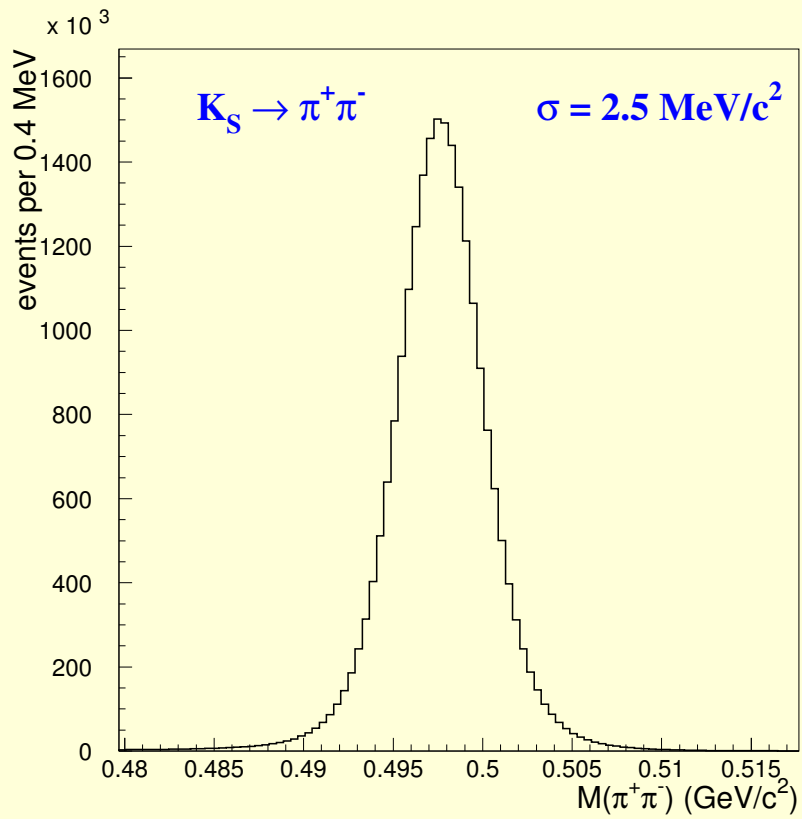
NA48: liquid Kr,  $128 \times 128$



KTeV: CsI, 50% grubsza granulacja



# NA48, rekonstrukcija $K \rightarrow 2\pi$



## NA48 i KTeV, rekonstrukcja $K \rightarrow 2\pi^0$

$$d_{vx} = \frac{1}{m_K} \left[ \sum_{i,j=1}^4 E_i E_j ((x_i - x_j)^2 + (y_i - y_j)^2) \right]^{\frac{1}{2}}$$

$$m_{\gamma\gamma} = \frac{1}{d_{vx}} \left[ E_i E_j ((x_i - x_j)^2 + (y_i - y_j)^2) \right]^{\frac{1}{2}}$$

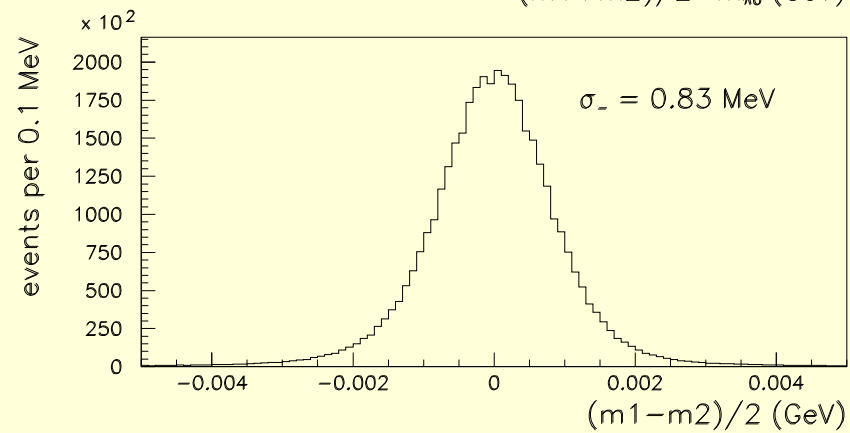
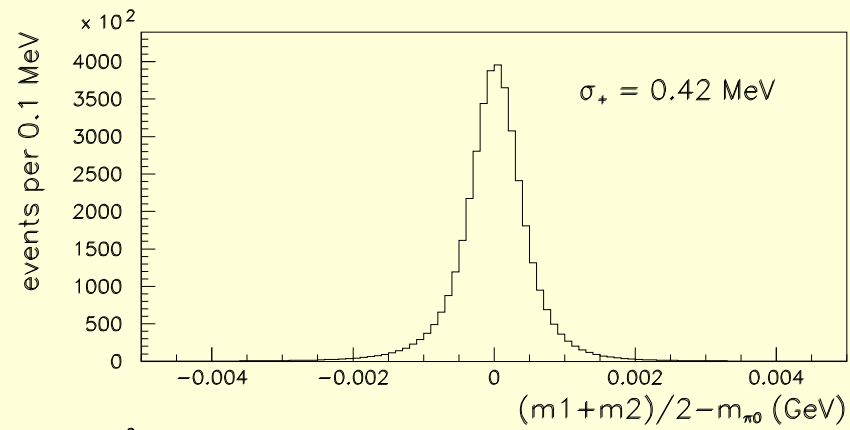
$$\chi^2 = [(m_1 + m_2)/2 - m_{\pi^0}]^2 / \sigma_+^2 + [(m_1 - m_2)/2]^2 / \sigma_-^2$$

**Właściwa kombinacja  $\gamma - \gamma$  w pary poprzez minimalne  $\chi^2$ .**

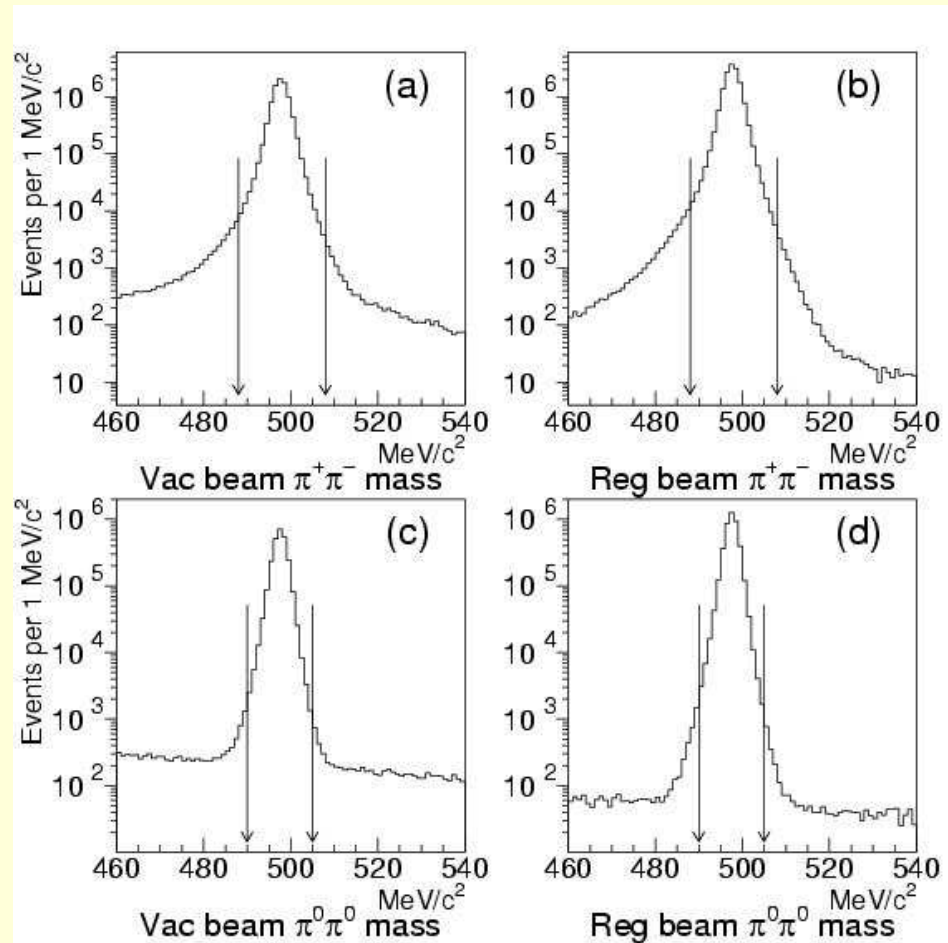
**Rozdzielczość w  $d_{vx}$  ok. 50 cm**



## NA48, rekonstrukcija $K \rightarrow 2\pi$



## KTeV, rekonstrukcija $K \rightarrow 2\pi$

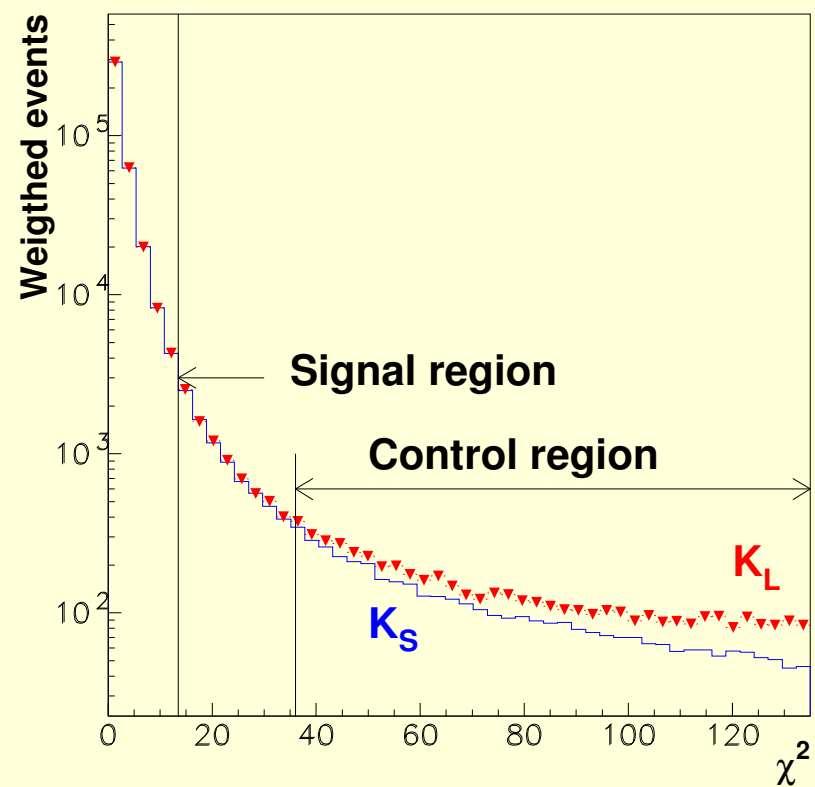
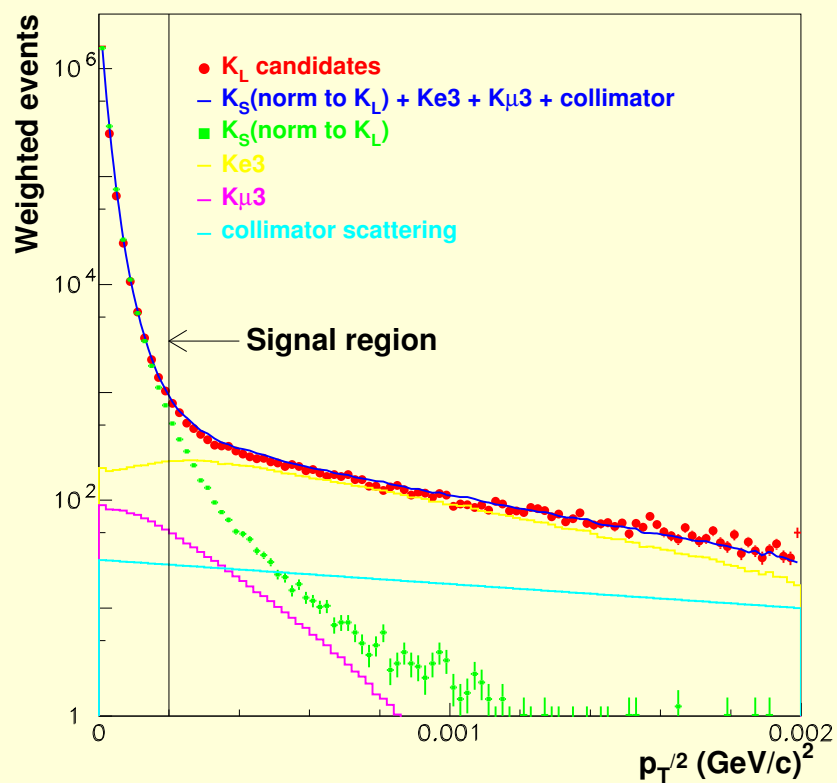


## Tło:

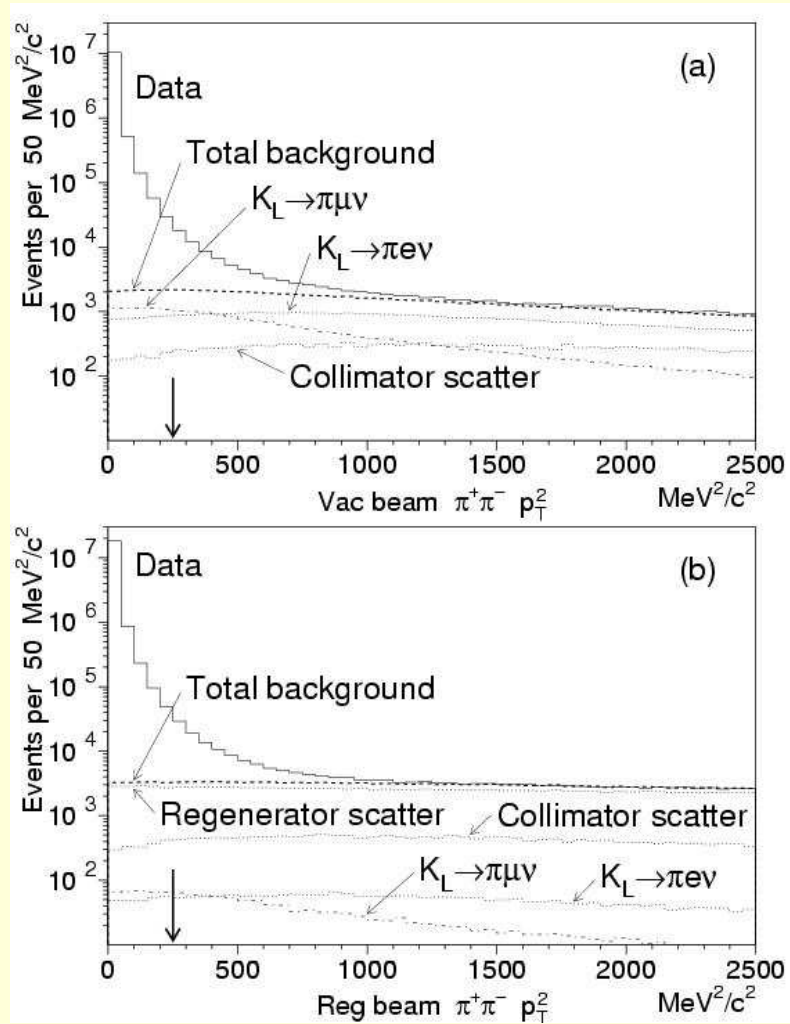
W obu eksperymentach główne tło dają

- $\pi^+\pi^-$ : kanały semileptonowe  $K_{e3}, K_{\mu3}$  i rozpraszanie wielokrotne,
- $\pi^0\pi^0$ : rozpady  $K_L \rightarrow 2\pi^0$  z nierejestrowanym  $\pi^0$ .

# NA48, $t\bar{t}$



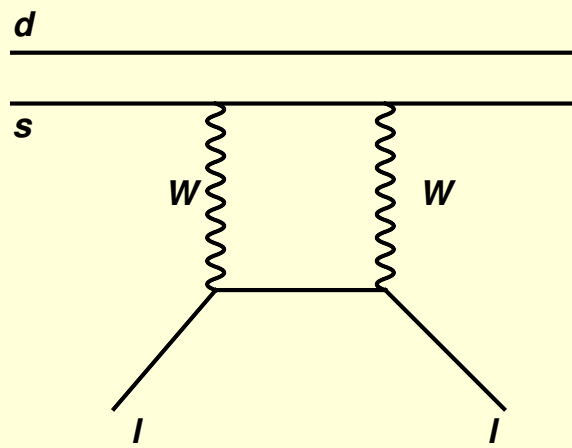
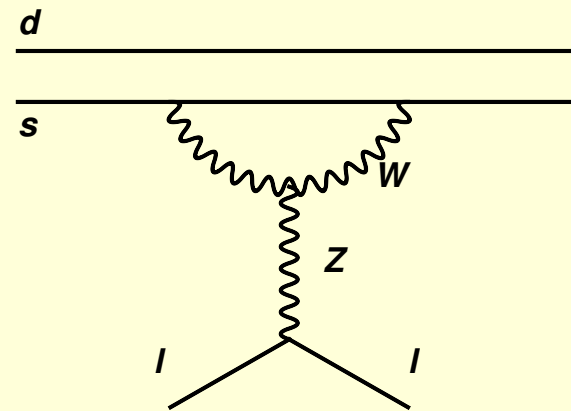
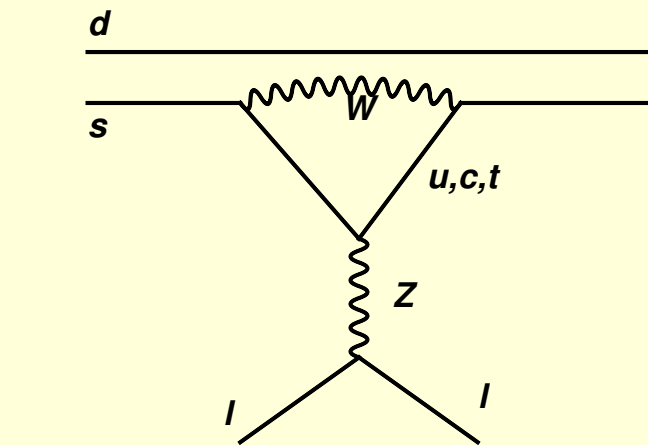
# KTeV, $\theta_0$



## Uwagi o przydatności $\varepsilon'$ do poprawienia wiedzy o $\eta$

- Do amplitud pingwinowych dają wkład dwie grupy składników:  $\Delta I = 1/2$  (gluonowy) i  $\Delta I = 3/2$  ( $Z^0$ , prop. do  $m_t^2$ ). Wkłady te znoszą się w znacznym stopniu, co jest znane z niezłą dokładnością (masa  $t$  jest przyzwoicie zmierzona).
- Większa niepewność pochodzi od członów hadronowych długozasięgowych. Liczy się je w ramach QCD na sieciach, lecz dotychczas źle kontroluje się przybliżenia numeryczne. Stąd teoria daje  $\varepsilon'$  znacznie mniej dokładnie niż eksperymenty.

# Przyszłość: rozpady $K^{\pm,0} \rightarrow \pi^{\pm,0} \nu \bar{\nu}$



- **dominacja dynamiki krótkozasięgowej:**

$$A_q \sim \frac{m_q^2}{m_W^2} V_{qs}^* V_{qd}, \quad , q = u, c, t$$

- **1 form-factor, taki sam jak w rozpadach semileptonowych  $K \rightarrow \pi l \nu_l$ , zmierzony z bardzo dobrą dokładnością, stąd duża czułość na  $V_{td}$  z niedużymi błędami teoretycznymi.**

- 

$$\text{BR}(K_L \rightarrow \pi^0 \nu \bar{\nu}) = \kappa_L X^2 (m_t^2 / m_W^2) A^4 \eta^2$$

gdzie  $X$  - znana funkcja,  $\kappa_L = 1.80 \times 10^{-10}$ . W kanale  $K^+ \rightarrow \pi^+ \nu \bar{\nu}$  większa nieoznaczoność hadronowa od wkładu  $V_{bd,s}$ .

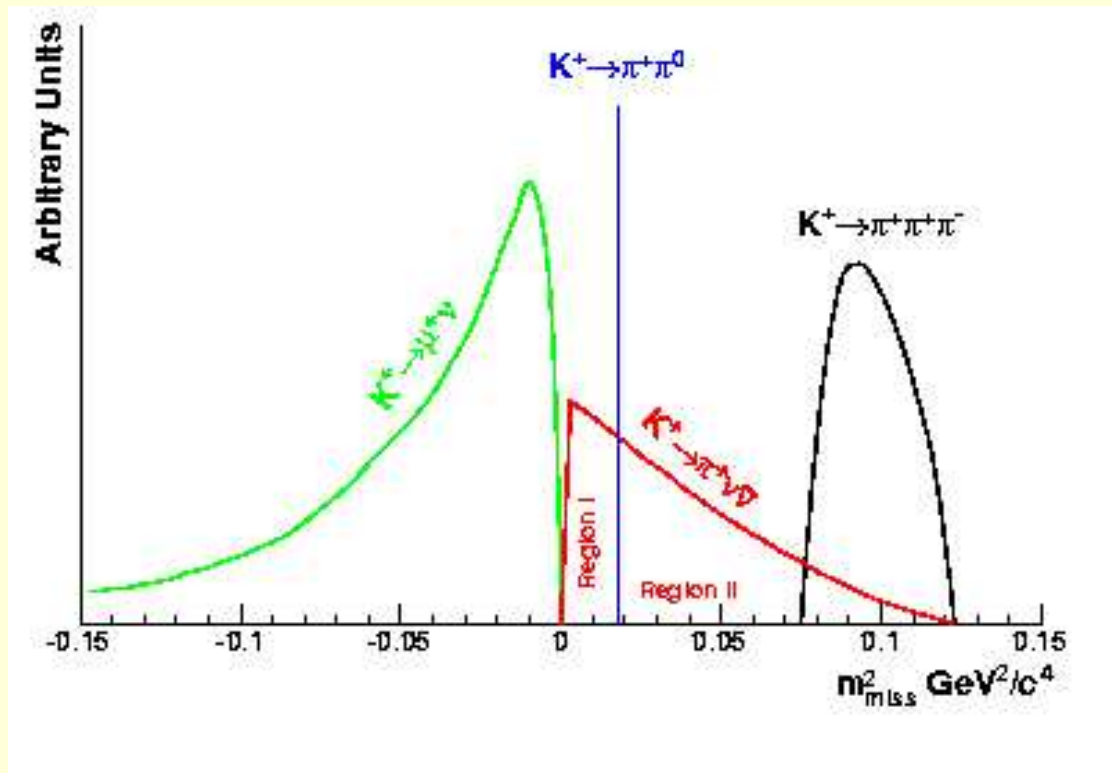


## Wyniki i plany eksperymentalne

- **BNL-AGS-E787: 3 zdarzenia przez 3 lata**

$$\text{BR}(\text{K}^+ \rightarrow \pi^+ \nu \bar{\nu}) = 1.49_{-0.89}^{+1.30} \times 10^{-10}$$

- **Follow-up BNL-AGS-E949, plan 10 zdarzeń.**
- **CERN P326 (następca NA48), plan 80 zdarzeń (proposal '05).**



$$m_{\text{miss}}^2 \simeq m_K^2 \left(1 - \frac{|p_\pi|}{|p_K|}\right) + m_\pi^2 \left(1 - \frac{|p_K|}{|p_\pi|}\right) - |p_\pi| |p_K| \theta_{\pi K}^2$$

**Założenie, że zrekonstruowany hadron jest pionem.**